



بررسی همیافتی کانی‌های زوئیزیت و کلینوزوئیزیت در سنگ‌های دگرگون؛ مثالی از اپیدوت-آمفیبوليتهای جنوب سلماس- شمال غرب ایران

معصومه آهنگری^{*}، محسن مؤذن

دانشگاه تبریز، دانشکده علوم طبیعی، گروه زمین‌شناسی

(دریافت مقاله: ۹۱/۱/۱۵، نسخه نهایی: ۹۱/۷/۲۹)

چکیده: زوج کانی‌های زوئیزیت و کلینوزوئیزیت به صورت همزیست در اپیدوت-آمفیبوليتهای منطقه سلماس حضور دارند. در این سنگ‌ها، زوئیزیت در مقایسه با کلینوزوئیزیت از فراوانی بیشتری برخوردار است. ترکیب این زوج کانی‌ها، با یکدیگر متفاوت بوده و دارای مقادیر مختلفی از X_{Ps} (عضو انتهایی پیستاسیت) هستند. این مقدار در زوئیزیت کم بوده و در حدود ۶,۴۶–۱۰,۶۵٪ است. مقدار عضو نهایی پیستاسیت برای کلینوزوئیزیت در حدود ۱۸,۷۲–۱۸,۷۳٪ است. جانشینی $\text{Al}-\text{Fe}^{3+}$ در این کانی‌ها جانشین مهم و مؤثر در ایجاد تغییرات ترکیب کانی‌شناسیست. بررسیهای دما-فشار اپیدوت-آمفیبوليتهای منطقه‌ی سلماس، بر اساس مبادلات فازی و واکنش تبدیل زوئیزیت به کلینوزوئیزیت و مقدار عضو انتهایی پیستاسیت در زوج کانی‌ها، حاکی از دگرگونی این سنگ‌ها در شرایط دمای $50^{\circ}\pm 5^{\circ}$ درجه‌ی سانتیگراد و فشار ۷-۵ کیلوبار است.

واژه‌های کلیدی: همزیستی زوئیزیت-کلینوزوئیزیت؛ دما-فشار سنجی؛ اپیدوت-آمفیبوليتهای سلماس.

تعیین موقعیت و چگونگی تبدیل راستگوشی به تک میل در سیستم (CASH) $\text{CaO}-\text{Al}_2\text{O}_3-\text{SiO}_2-\text{H}_2\text{O}$ به شدت متأثر از کینتیک پایین این واکنش است [۳]. با بررسی سیستم CASH می‌توان چگونگی تبدیل فازی از کلینوزوئیزیت به زوئیزیت، موقعیت گستره‌ی دو فازی زوئیزیت-کلینوزوئیزیت در نمودارهای $P-T-X_{\text{Ps}}$ و احتمال وقfe‌ی ترکیبی و امتزاجی در سری انحلال جامد راستگوشی و تک میل را درک کرد. با این وجود، موارد یاد شده از دیرباز موضوع بحث بسیاری از سنگ‌شناس‌ها بوده است [۱، ۴]. ولی، با وجود بررسی‌های تجربی زیادی که در این زمینه توسط بسیاری از پژوهشگران انجام شد [۱۰-۵]، تا کنون موقعیت و چگونگی چنین مبادلات فازی به خوبی شناخته نشده و همواره سؤال برانگیز بوده است.

مقدمه
زوئیزیت و کلینوزوئیزیت، چندریخت‌های ترکیب $\text{Ca}_2\text{Al}_3\text{Si}_3\text{O}_{12}(\text{OH})$ بوده و از کانی‌های سازنده بسیاری از سنگ‌ها هستند. گرچه مقدار این کانی‌ها در سنگ‌ها کم است، ولی، در بیشتر سنگ‌های دگرگون با ترکیب‌های بسیار متفاوت از یکدیگر؛ شامل سنگ‌های مافیک، حد واسط تا اسید دگرگون شده و نیز در سنگ‌های سیلیکات آهکی در تحت شرایط رخساره شیست سبز، آمفیبولي و اکلوژیت تشکیل شده و حضور دارند [۱]. در سنگ‌های دگرگون حاوی آهن، زوئیزیت با ساختار راستگوشی می‌شود، در حالیکه کلینوزوئیزیت با ساختار تک میل در فشارهای راستگوشی می‌شود [۲].

* نویسنده مسئول، تلفن: ۰۹۱۴۳۴۸۴۱۱۵، نمایر: ۰۴۱۱ (۳۳۵۶۰۲۷)، پست الکترونیکی: ahangari@tabrizu.ac.ir

روش کار

اساس کار در این پژوهش بر مبنای بررسی های سنگنگاری نمونه های اپیدوت آمفیبولیتی منطقه ای سلاماس و تشخیص کانی های زوئیزیت و کلینوزوئیزیت از یکدیگر، با توجه به خصوصیات نوری و زاویه های خاموشی آن ها، استوار است. با مشخص شدن کانی های زوئیزیت و کلینوزوئیزیت از یکدیگر، آنالیزهای نقطه ای از کانی های یاد شده در مؤسسه GFZ آلمان به عمل آمد و سپس، با توجه به ترکیب شیمیایی هر یک از این کانی ها، دما و فشار تشکیل آن ها محاسبه شدند.

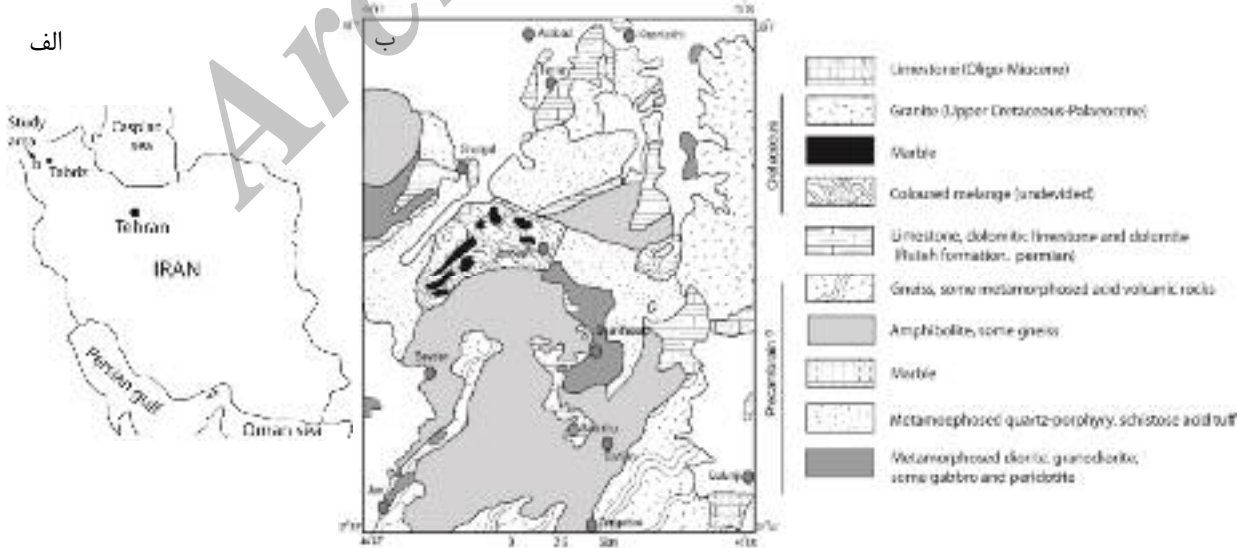
موقعیت زمین شناسی منطقه و سنگ شناسی

منطقه ای مورد بررسی در جنوب شهرستان سلاماس در استان آذربایجان غربی و بین مختصات جغرافیایی $47^{\circ} 44'$ تا $45^{\circ} 00'$ طول شرقی و $37^{\circ} 55'$ تا $38^{\circ} 7'$ عرض شمالی واقع شده است (شکل ۱ الف و ب). ترکیب سنگ شناسی منطقه بسیار متنوع بوده و انواع سنگ های دگرگون، آذرین و رسوبی در این منطقه رخنمون دارند. سنگ های دگرگون، بخش بزرگ منطقه را به خود اختصاص داده و شامل مجموعه ای از آمفیبولیت ها (شامل اپیدوت آمفیبولیت ها و آمفیبولیت ها) و به مقدار بسیار کم بیوتیت اپیدوت آمفیبولیت ها) همراه با مقادیر کمی شیست، آهک های بلورین و به مقدار بسیار کمتر متاریولیت و متاریوداسیت است. سن این سنگ های دگرگون در نقشه های زمین شناسی $1:100,000$ سلاماس [۱۷] و $1:250,000$ خوی [۱۸]، پر کامبرین گزارش شده است.

وجود وقفه امتزاجی در بین کانی های گروه اپیدوت، اولین بار توسط [۱۱] بین ترکیب پیستاسیت ۱۲ تا ۲۲ درصد گزارش شده است. پس از آن، این وقفه مکرر برای اپیدوت های طبیعی موجود در سنگ های دگرگون در شرایط رخساره ای شیست سبز تا آمفیبولیت شناخته شد [۱۴-۱۲]. [۱۵] بر پایه های بررسی های تجربی نشان دادند که بین کانی های گروه اپیدوت، محلول جامد پیوسته ای بین زوئیزیت و کلینوزوئیزیت وجود ندارد. نتایج بررسی های آنها در فشار ۵ کیلوبار، حاکی از وجود وقفه ترکیبی بین ترکیب پیستاست ۰،۲۵ تا ۰،۰۵ است.

[۱۶] نیز گسترده ای مشابه گسترده ای یاد شده را، برای نمونه های طبیعی کانی های گروه اپیدوت گزارش کردند. بین سری محلول جامد موجود بین کانی های گروه اپیدوت، در گستره ای ترکیبی بین 0.7 تا 0.8 نیز وقفه ترکیبی توسط [۱۴، ۱۰] گزارش شد. وقفه های ترکیبی گزارش شده توسط پژوهشگران مختلف، می تواند دلیلی بر هم زیستی زوج کانی زوئیزیت و کلینوزوئیزیت در یک سنگ دگرگون باشد. به طور یکه هر دو بتوانند به صورت تعادلی از نظر ترمودینامیکی در یک نمونه حضور داشته باشند.

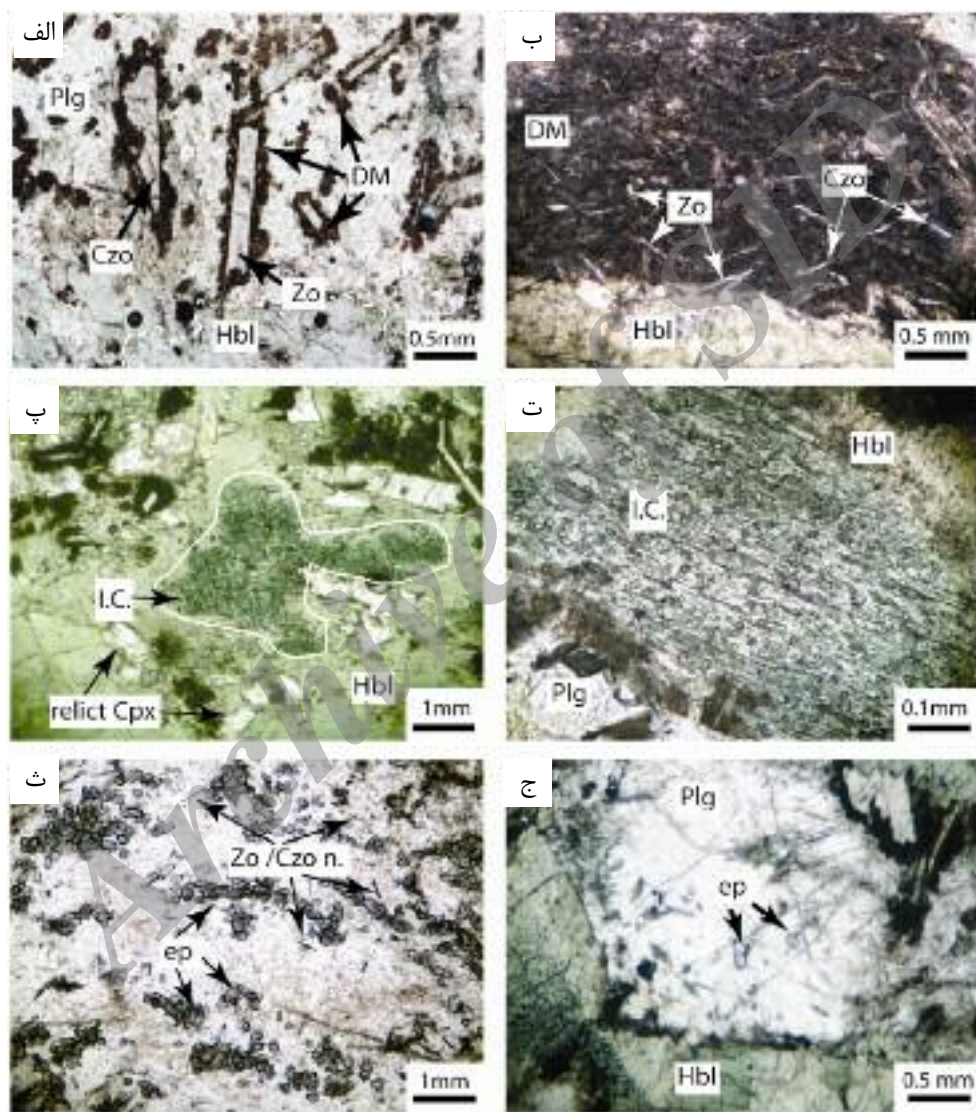
در این مقاله به بررسی همیافتی و هم زیستی کانی های زوئیزیت و کلینوزوئیزیت در اپیدوت - آمفیبولیت های منطقه سلاماس پرداخته و سعی شده است تا خلاصه ای از بررسی های پیشین موجود در این زمینه را نیز ارائه دهد.



شکل ۱ (الف): موقعیت منطقه ای مورد بررسی در نقشه های ایران، (ب): نقشه های زمین شناسی منطقه ای مورد بررسی، اقتباس از [۱۸، ۱۷].

سنگ‌ها بسیار متغیر است. ترکیب کانی‌شناسی اپیدوت-آمفیبولیت‌ها شامل کانی‌های آمفیبول (هورنبلند)، پلاژیوکلاز، کوارتر، کانی‌های گروه اپیدوت (اپیدوت، زوئیزیت و کلینوزوئیزیت)، تیتانیت و اکسیدهای آهن است. کلینوپیروکسن‌های باقی‌مانده از سنگ مادر نیز قابل مشاهده است (شکل ۲ پ).

ایپیدوت-آمفیبولیت‌ها یکی از مهمترین گروه سنگ‌های دگرگون منطقه‌ی جنوب سلماس‌اند که به همراه آمفیبولیت‌ها بخش وسیعی از منطقه‌ی مورد بررسی را به خود اختصاص داده است. این سنگ‌ها در نمونه‌ی دستی، به رنگ سبز روشن تا سبز تیره بوده و کانی‌های آمفیبول و پلاژیوکلاز موجود در آن به راحتی قابل تشخیص‌اند. اندازه‌ی کانی‌های موجود در این



شکل ۲ کانی‌های گروه اپیدوت-آمفیبولیت‌های منطقه‌ی سلماس (در نور PPL) (الف و ب): کانی‌های کشیده و منشوری زوئیزیت و کلینوزوئیزیت در متن سنگ با حاشیه‌ای از مواد تیره رنگ، اندازه متفاوت کانی‌های زوئیزیت و کلینوزوئیزیت و نیز مقادیر متفاوت مواد تیره در حاشیه‌ی این کانی‌ها در این دو نمونه مشهود است. (پ و ت): ادخال‌های ریز اپیدوت موجود در کانی آمفیبول. ادخال‌های ریز اپیدوت سمتگیری نشان می‌دهند. کلینوپیروکسن‌های باقی‌مانده از سنگ اولیه نیز قابل مشاهده است. (ث): کانی‌های اپیدوت و سوزن‌های ریز زوئیزیت و کلینوزوئیزیت در اپیدوت-آمفیبولیت‌ها. (ج): ادخال‌های اپیدوت در کانی پلاژیوکلاز. Zo: زوئیزیت؛ Czo: کلینوزوئیزیت؛ DM: مجموعه‌ی کانی‌های ریز موجود در حاشیه‌ی کانی‌ها؛ Hbl: هورنبلند؛ I.C.: مجموعه‌ی ادخال‌ها در کانی آمفیبول؛ relict Cpx: کلینوپیروکسن باقی‌مانده؛ ep: اپیدوت؛ Zo/Czo n.: سوزنی‌های زوئیزیت/کلینوزوئیزیت.

حداقل می‌رساند. بدین معنی که مجموعه‌ی یادشده از دگرگونی برگشتی و یا دگرسانی اپیدوت‌ها حاصل نشده‌اند. نتایج حاصل از آنالیز نقطه‌ای این مواد نشانگر بالا بودن مقادیر اکسیدهای SiO_2 , Al_2O_3 و CaO است. میزان FeO موجود در این ترکیب نزدیک ۴٪ است. میزان اکسیدهای دیگر ناچیز است. ترکیب شیمیایی این مجموعه شباهت بسیار زیادی به ترکیب کانی‌های زوئیزیت و کلینوزوئیزیت آنالیز شده دارد (با این تفاوت که میزان آب موجود در این مجموعه از کانی‌ها بیش از کانی‌های گروه اپیدوت است، جدول ۱). به نظر می‌رسد که این مجموعه جایگاه و مکانی برای تبلور کانی‌های Zo/Czo در اپیدوت‌آمفیبولیت‌های منطقه‌ی سلماس را تشکیل می‌دهد، و با توجه به تشابه بسیار زیاد ترکیب شیمیایی این مواد با کانی‌های Zo/Czo نیز، این احتمال را قوت می‌بخشد.

عموماً، هر سه عضو از کانی‌های گروه اپیدوت با یکدیگر در اپیدوت‌آمفیبولیت‌ها حضور دارند (شکل ۲). زوئیزیت و کلینوزوئیزیت به صورت شکل‌های کشیده و منشوری در متن سنگ بوده و دارای تعادل بافتی با کانی‌های موجود دیگر در سنگ دیده می‌شوند. در اطراف و حاشیه برخی از این کانی‌ها مجموعه‌ی درهمی از کانی‌های تیره مشاهده می‌شود (شکل ۲ الف و ب)، این بافت تنها در دو نمونه از اپیدوت‌آمفیبولیت‌های منطقه سلماس مشاهده شده و نمونه‌های دیگر مطالعه شده فاقد چنین بافتی هستند. این مجموعه درهم از کانی‌ها، ظاهری بی‌شکل داشته و ترکیب آن قابل شناسایی و تشخیص با میکروسکوپ نیست. بررسی‌های میکروسکوپی انجام گرفته روی این نمونه‌ها، نشانگر تند و تیز بودن مرز کانی‌های Zo/Czo با این مجموعه است. لذا وجود این مرز (شواهد بافتی)، اهمیت فرآیندهای دگرگون پسروند را در تشکیل این مجموعه به

جدول ۱ داده‌های حاصل از آنالیز نقطه‌ای کانی‌های زوئیزیت و کلینوزوئیزیت و مجموعه کانی‌های ریز موجود در اطراف کانی‌های گروه اپیدوت.
Zo: زوئیزیت؛ Czo: کلینوزوئیزیت

	slm1e-11	slm1e-12	slm1e-13	slm1e-32	slm1e-33	slm1e-31	slm1e-30	مجموعه کانی‌های ریز
	Czo	Czo	Czo	Zo	Zo	Zo	Zo	۳۷,۳۷
SiO_2	۳۸,۵۵	۳۸,۶۷	۳۸,۴۷	۳۹,۲۰	۳۸,۶۵	۴۲,۷۹		
TiO_2	۰,۰۷	۰,۰۹	۰,۰۶	۰,۰۱	۰,۰۱	۰,۰۰	۰,۰۱	
Al_2O_3	۲۶,۷۷	۲۷,۳۸	۲۶,۶۵	۲۹,۴۲	۲۹,۱۰	۲۹,۶۹	۲۶,۷۵	
Cr_2O_3	۰,۰۰	۰,۰۲	۰,۰۰	۰,۰۳	۰,۰۲	۰,۰۰	۰,۰۱	
Fe_2O_3	۸,۵۲	۸,۶۱	۹,۱۶	۴,۵۸	۵,۴۳	۳,۲۱	۳,۷۶	
MnO	۰,۰۹	۰,۰۵	۰,۰۳	۰,۰۷	۰,۰۹	۰,۰۱	۰,۰۶	
MgO	۰,۰۰	۰,۰۰	۰,۰۰	۰,۰۴	۰,۰۰	۰,۰۰	۱,۴۹	
CaO	۲۴,۰۱	۲۴,۰۰	۲۴,۰۷	۲۴,۰۹	۲۴,۱۸	۲۱,۳۹	۲۳,۵۲	
Na_2O	۰,۰۰	۰,۰۰	۰,۰۰	۰,۲۰	۰,۰۵	۱,۴۲	۰,۰۶	
K_2O	۰,۰۰	۰,۰۱	۰,۰۰	۰,۰۰	۰,۰۱	۰,۰۱	۰,۰۰	
Total	۹۷,۱۵	۹۷,۹۷	۹۷,۴۲	۹۷,۲۱	۹۶,۹۸	۹۸,۱۹	۹۲,۶۵	
Formula (12.5 O)								
Si	۲,۰۱۳	۲,۹۹۶	۳,۰۰۲	۳,۰۲۹	۳,۰۰۲	۳,۲۲۲	۳,۰۳۷	
Ti	۰,۰۰۴	۰,۰۰۵	۰,۰۰۳	۰,۰۰۱	۰,۰۰۰	۰,۰۰۰	۰,۰۰۱	
Al	۲,۴۶۶	۲,۴۹۹	۲,۴۵۱	۲,۶۸۰	۲,۶۶۴	۲,۶۳۵	۲,۵۶۲	
Cr	۰,۰۰۰	۰,۰۰۱	۰,۰۰۰	۰,۰۰۲	۰,۰۰۱	۰,۰۰۰	۰,۰۰۱	
Fe^{3+}	۰,۵۰۱	۰,۵۰۲	۰,۵۳۲	۰,۲۶۶	۰,۳۱۸	۰,۱۸۲	۰,۲۳۰	
Mn	۰,۰۰۶	۰,۰۰۳	۰,۰۰۲	۰,۰۰۵	۰,۰۰۶	۰,۰۰۱	۰,۰۰۴	
Mg	۰,۰۰۰	۰,۰۰۰	۰,۰۰۰	۰,۰۰۵	۰,۰۰۰	۰,۰۰۰	۰,۱۸۱	
Ca	۲,۰۱۰	۱,۹۹۲	۲,۰۱۲	۱,۹۹۴	۲,۰۱۲	۱,۷۲۶	۲,۰۴۸	
Na	۰,۰۰۰	۰,۰۰۰	۰,۰۰۰	۰,۰۳۱	۰,۰۰۷	۰,۲۰۷	۰,۰۰۹	
K	۰,۰۰۰	۰,۰۰۱	۰,۰۰۰	۰,۰۰۰	۰,۰۰۰	۰,۰۰۱	۰,۰۰۰	
Total	۸,۰۰۱	۷,۹۹۹	۸,۰۰۳	۸,۰۱۲	۸,۰۱۰	۷,۹۷۴	۸,۰۷۱	
Mole fractions								
XCa (A)	۱,۰۱	۱,۰۰	۱,۰۱	۱,۰۰	۱,۰۱	۰,۸۶	۱,۰۲	
XAl (M3)	۰,۴۷	۰,۵۰	۰,۴۵	۰,۶۸	۰,۶۶	۰,۶۴	۰,۵۶	
XFe3 (M3)	۰,۵۰	۰,۵۰	۰,۵۳	۰,۲۷	۰,۳۲	۰,۱۸	۰,۲۳	

توجه و حاشیه‌ی مشخص‌اند که نشان می‌دهد حاصل دگرسانی، کانی میزبان نیست (شکل ۲ ج).

۴- کانی‌های گروه اپیدوت همواره همراه با کانی‌های اوج دگرگونی بوده و هیچ‌گاه همراه آن‌ها، کانی‌های معمول در دگرسانی و/یا دگرگونی برگشتی (همچون ترمولیت-اکتینولیت، کلریت، گوتیت و ژاروسیت) مشاهده نشده است.

۵- علاوه بر موارد یاد شده در بالا که حاصل مشاهدات مستقیم و بررسی‌های سنگنگاری انجام شده روی نمونه‌های اپیدوت-آمفیبولیت‌های منطقه سلماس‌اند، بررسی‌های بیشماری در خصوص وجود و تشکیل کانی‌های گروه اپیدوت بویژه زوئیزیت و کلینوزوئیزیت طی دگرگونی پیشرونده و به صورت متعادل با دیگر کانی‌های اوج دگرگونی، هم در اپیدوت-آمفیبولیت‌ها [۱۹-۲۱] و هم در اپیدوت-اکلوزیت‌ها [۲۵-۲۲]، انجام شده است که خود می‌تواند به عنوان شاهدی مبنی بر حضور متعادل کانی‌های گروه اپیدوت در آمفیبولیت‌ها و اکلوزیت‌ها باشد.

در مجموع، بررسی‌های سنگنگاری انجام گرفته روی اپیدوت-آمفیبولیت‌های منطقه‌ی سلماس، و استفاده از شواهد مختلف مبنی بر وجود تعادل بین کانی‌های گروه اپیدوت و دیگر کانی‌های موجود در این سنگ‌هاست.

شیمی کانی

بررسی‌های شیمی کانی‌های گروه اپیدوت، بر مبنای تجزیه‌ی این کانی‌ها با ریزپردازندۀ Cameca SX-100 در مؤسسه تحقیقاتی علوم زمین آلمان Geo Forschungs Zentrum (GFZ) پیسدام صورت گرفته است. خلاصه‌ای از نتایج حاصل از آنالیز نقطه‌ای این کانی‌ها در جدول ۱ نشان داده شده است. فرمول ساختاری کانی‌های این گروه بر اساس ۱۲/۵ اتم اکسیژن محاسبه شده است. برای انجام این محاسبات، تمامی آهن موجود در ساختار این کانی، به صورت Fe^{3+} فرض شده است. معمولاً شناسایی و تشخیص کانی زوئیزیت از کلینوزوئیزیت بر مبنای بررسی‌های میکروسکوپی و تعیین زاویه‌ی خاموشی استوار است. زوئیزیت دارای خاموشی مستقیم بوده ولی زاویه‌ی خاموشی در کلینوزوئیزیت به صورت مایل است [۱]. لذا برای رده‌بندی و نامگذاری این کانی‌ها از خصوصیات نوری آن‌ها که در شکل ۳ نشان داده شده بهره جسته‌ایم.

فرمول عمومی کانی‌های این گروه به صورت $\text{Ca}_2\text{Al}_2(\text{Al},\text{Fe}^{3+})[\text{Si}_3\text{O}_{12}(\text{OH})]$ بوده که در آن جانشینی Al به جای Fe^{3+} بوجود آورده‌ی کانی‌های مختلف موجود در سری محلول جامد کانی‌های گروه اپیدوت است. این جانشینی

بررسی‌های بافتی حاکی از این امرند که کانی‌های گروه اپیدوت طی دگرگونی پیشرونده در این سنگ‌ها تشکیل شده و بخشی از مجموعه کانی‌های اوج دگرگونی به حساب می‌آیند. علاوه بر کانی‌های گروه اپیدوت موجود در متن سنگ، اپیدوت به صورت نفوذی در کانی‌های آمفیبول (شکل ۲ پ و ۲ ت) و پلازیوکلاز (شکل ۲ ج) نیز مشاهده شده است.

بررسی‌های سنگنگاری انجام شده روی نمونه‌های اپیدوت-آمفیبولیتی بدست آمده از منطقه‌ی جنوب سلماس، بیانگر این واقعیت است که به لحاظ آماری میزان کانی‌های زوئیزیت و کلینوزوئیزیت با یکدیگر متفاوتند. این بررسی‌ها نشان می‌دهد که بیشتر کانی‌های گروه اپیدوت موجود در زمینه‌ی سنگ دارای ترکیب زوئیزیت با زاویه‌ی خاموشی مستقیم‌اند. رنگ دوشکستی این کانی‌ها در نور قطبیده بسیار متغیر بوده و آبی غیر عادی، سبز و زرد از جمله رنگ‌های دوشکستی متدائل این کانی‌ها هستند. هیچ نوع منطقه‌بندی شیمیایی در این کانی‌ها مشاهده نشده است.

روابط بافتی کانی‌های Zn/Czo

حضور کانی‌های گروه اپیدوت بویژه چندربختی‌های زوئیزیت و کلینوزوئیزیت به صورت متعادل و تشکیل آن‌ها حین دگرگونی پیشرونده، از جمله مسایل بحثبرانگیز در سنگ‌شناسی دگرگونی است. با این وجود، یا عدم وجود تعادل دگرگونی در این سنگ‌ها پی‌برد. در زیر به بخشی از روابط بافتی موجود در اپیدوت-آمفیبولیت‌های منطقه سلماس اشاره شده است:

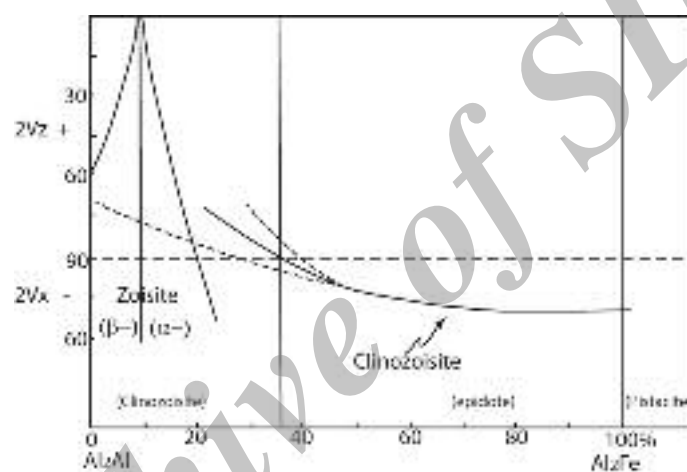
۱- در بیشتر نمونه‌های اپیدوت-آمفیبولیت بررسی شده در منطقه‌ی سلماس، کانی‌های گروه اپیدوت در تماس مستقیم با دیگر کانی‌های تشکیل شده در اوج دگرگونی همچون پلازیوکلاز و آمفیبول بوده و مرز بین آن‌ها مستقیم و مشخص است. بدین معنی که حاشیه واکنشی بین اپیدوت و دیگر کانی‌ها دیده نمی‌شود.

۲- اندازه‌ی کانی‌های گروه اپیدوت در اپیدوت-آمفیبولیت‌ها درشت بوده و معمولاً دارای اندازه‌ای مشابه با کانی‌های دیگر موجود در این مجموعه هستند.

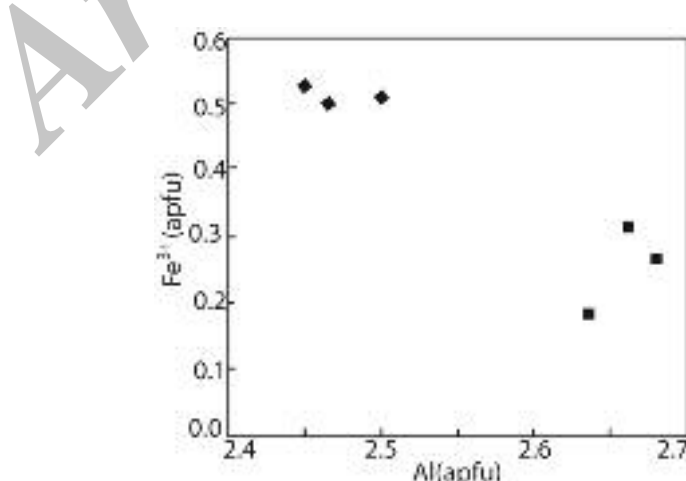
۳- اپیدوت‌ها همواره در متن سنگ و در تماس مستقیم با کانی‌های تشکیل دهنده‌ی سنگ بوده و هیچ‌گاه روی دیگر کانی‌ها و یا حاشیه‌ی آن‌ها، بر اثر دگرسانی و یا دگرگونی برگشتی، رشد نکرده‌اند. در مواردی که اپیدوت داخل کانی‌های دیگر به صورت دربرداری هستند و است دارای اندازه‌ی قابل

$Mg + Mn$) با فرض اینکه تمامی آهن موجود در ساختار این کانی‌ها، آهن سه ظرفیتی است، برای زوئیزیت و -کلینوزوئیزیت متغیر است. این مقدار برای زوئیزیت 0.09 ± 0.06 بوده و برای کلینوزوئیزیت 0.11 ± 0.18 است. میزان عناصر دیگر موجود در ساختار این کانی‌ها تفاوت چشمگیری با یکدیگر نداشته و مشابه یکدیگرند. مقدار اکسید MnO در ساختار این کانی‌ها کم بوده و معمولاً کمتر از 0.09 درصد وزنی اکسیدهای موجود در ساختار این کانی‌ها را به خود اختصاص داده است. همچنین میزان MgO نیز ناچیز بوده و کمتر از 0.04 درصد است. مقدار عضونهایی پیستاسیت $(Fe^{3+}/(Al + Fe^{3+}))$ برای کلینوزوئیزیت و $0.73-1.18$ برای زوئیزیت است.

در ایجاد تغییرات ترکیبی کانی‌های گروه اپیدوت موجود در اپیدوت-آمفیبولیت‌های منطقه سلاماس نیز مؤثر است (شکل ۴). زوئیزیت و کلینوزوئیزیت موجود در سنگ‌های آمفیبولیتی منطقه‌ی سلاماس دارای ترکیب‌های متفاوتی نسبت به یکدیگرند. مقدار اکسیدهای Al_2O_3 و Fe_2O_3 در این کانی‌ها نسبت به یکدیگر متفاوت است. معمولاً میزان اکسید Al_2O_3 در کانی زوئیزیت ($29.1-29.6\%$) بیشتر از کلینوزوئیزیت ($27.3-27.8\%$) بوده و در مقابل میزان اکسید Fe_2O_3 آن ($5.4-5.21\%$) در مقایسه با میزان این اکسید در ساختار کانی کلینوزوئیزیت ($9.0-9.52\%$) کمتر است. مقادیر $X_{Fe} = (Fe^{3+} + Fe^{2+})/(Al + Fe^{3+} + Fe^{2+})$



شکل ۳ رده‌بندی کانی‌های گروه اپیدوت در سیستم $Ca_2Al_3Si_3O_{12}(OH)-Ca_2Al_2FeSi_3O_{12}(OH)$. زوئیزیت با ساختار راستگوش شامل دو نوع زوئیزیت فقیر از آهن (زوئیزیت β) و زوئیزیت غنی از آهن (زوئیزیت α). کلینوزوئیزیت با ساختار تکمیل (علامت نوری مثبت). در این شکل موقعیت پیستاسیت ($Ca_2Fe_3Si_3O_{12}(OH)$) نشان داده نشده است. برگرفته از [۴].



شکل ۴ نمودار Al نسبت به Fe^{3+} . همخوانی منفی این دو عنصر بیانگر وقوع جانشینی Fe^{3+} به جای Al است. در این نمودار مقادیر متفاوت Fe^{3+} و Al در ترکیب این کانی‌ها قابل مشاهده می‌باشد. ♦: زوئیزیت؛ ■: کلینوزوئیزیت است.

برای تعیین شرایط دما و فشار دگرگونی تشکیل باشد. در واقع تبدلات فازی کلینوزوئیزیت به زوئیزیت و وقفه ترکیبی موجود در محلول جامد کلینوزوئیزیت، تابع شرایط $P-T-X_{PS}$ است. هر چند، استفاده از همزیستی این دو کانی علیرغم داشتن پتانسیل خوب به عنوان زمین-دما-فشارسنج (دما- فشار سنجی)، در سنگ‌های دگرگون کمتر مورد استفاده قرار گرفته است [۱۵].

برای تعیین دمای دگرگونی اپیدوت- آمفیبولیت‌های منطقه مورد بررسی، از نمودارتقریبی دما نسبت به درصد مولی عضو پیستاستیت در زوج کانی زوئیزیت و کلینوزوئیزیت [۳۰]، استفاده شد (شکل ۶). با ترسیم محتوای X_{PS} کانی‌های زوئیزیت و کلینوزوئیزیت بدست آمده از منطقه‌ی سلاماس روی این نمودار، دمای تشکیل اپیدوت- آمفیبولیت‌های منطقه‌ی این نمودار، در حدود $500-680$ درجه‌ی سانتیگراد است. با توجه سلاماس در حدود 500 ± 20 درجه‌ی سانتیگراد است. به اینکه گستره دمایی بدست آمده در این روش زیاد و نیز با توجه به اینکه این روش تقریبی بوده و احتمال بروز خطأ در آن زیاد است، لذا به منظور محدود کردن گستره دمایی به دست آمده، از ترکیب آمفیبول و پلاژیوکلاز موجود در این سنگ‌ها استفاده شده (دماسنج تجربی آمفیبول- پلاژیوکلاز) [۳۴] و دمای دگرگونی محاسبه شد. با بکارگیری این روش، دمای آپیدوت، از معادلات و روابط ارائه شده توسط [۱۵]، استفاده شده است:

$$X_{PS}^{Zo}(\text{max}) = 1.9 \times 10^{-4} T + 3.1 \times 10^{-2} P - 5.63 \times 10^{-2} \quad (1)$$

$$X_{PS}^{Zo}(\text{min}) = (4.6 \times 10^{-4} - 4 \times 10^{-5} P)T + 3.82 \times 10^{-2} P - 8.76 \times 10^{-2} \quad (2)$$

این روابط تجربی بوده و بر اساس بررسی‌های آزمایشگاهی بدست آمده است (دما بر حسب درجه سانتیگراد و فشار بر حسب گیگاپاسکال). در این معادلات ترکیب زوج کانی‌های زوئیزیت و کلینوزوئیزیت به عنوان تابعی از دما و فشار در نظر گرفته شد. با حل معادلات بالا برای مقادیر $X_{PS}^{Zo}(\text{min}) = 0.18$ ، $X_{PS}^{Zo}(\text{max}) = 0.06$ و دمای 500 درجه- کانی سانتیگراد (که با استفاده از ترکیب آمفیبول و پلاژیوکلاز محاسبه شد)، فشار به دست آمده برای نمونه‌های اپیدوت- آمفیبولیتی منطقه‌ی سلاماس، $6.5-7$ کیلوبار به دست آمد.

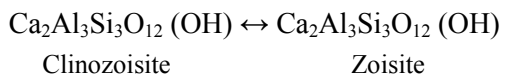
مروری بر همزیستی زوئیزیت و کلینوزوئیزیت

گرچه همزیستی زوئیزیت و کلینوزوئیزیت از دیرباز به خوبی شناخته شده [۲۶] و توجه بسیاری از زمین‌شناسان را به خود جلب کرده است، ولی تاکنون بررسی‌های چندان زیادی انجام نشده و ماهیت تبدیل این دو کانی به یکدیگر و یا علت همزیستی آن‌ها در یک سنگ به خوبی شناخته نشده است.

بررسی همزیستی زوئیزیت و کلینوزوئیزیت و نیز تبدیل این دو کانی به یکدیگر معمولاً بر پایه‌ی نتایج حاصل از دو نوع بررسی استوار است: (۱) بررسی روی نمونه‌های طبیعی بدست آمده از سنگ‌های دگرگون مختلف موجود در طبیعت (برای مثال [۲۷-۲۹])؛ و (۲) بررسی نمونه‌های ساخته شده در آزمایشگاه در شرایط فیزیکی (فشار و دما) متفاوت و کنترل شده [۳۰، ۵].

نتایج حاصل از این بررسی‌ها بسیار متنوع بوده و بر پایه‌ی این بررسی‌ها، تاکنون نظرهای متفاوتی در خصوص همزیستی و یا همیافتدی این دو کانی ارائه شده است.

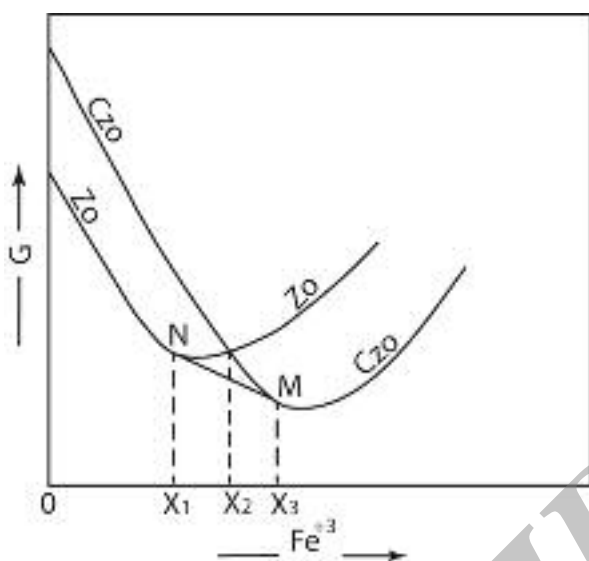
واکنش چندریختی تبدیل زوئیزیت به کلینوزوئیزیت به صورت زیر بیان می‌شود (واکنش ۱):



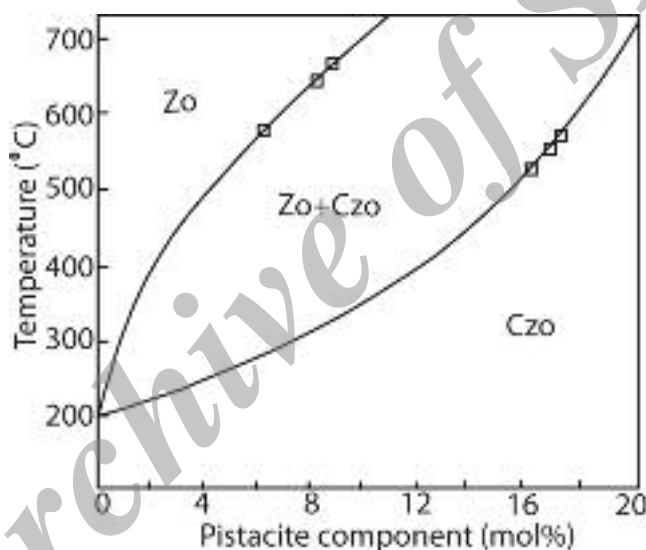
تعیین ماهیت همزیستی و یا همیافتدی دو کانی زوئیزیت و کلینوزوئیزیت، نیازمند محاسبه پارامترهای مختلف ترمودینامیکی در واکنش (۱) است. بررسی‌های مختلفی برای محاسبه ΔG° (انرژی آزاد گیبس) واکنش (۱) [۳۰، ۱۵، ۵] و دیگر داده- فعالیت کانی‌های زوئیزیت و کلینوزوئیزیت [۳۱] و ΔH° و ΔS° [۳۲، ۳۳] های ترمودینامیکی همچون ΔV ، ΔH° و ΔS° صورت گرفته است. در شکل ۵ شمایی شماتیک از انرژی آزاد گیبس برای کانی‌های زوئیزیت و کلینوزوئیزیت در مقابل نسبت‌های متفاوتی از X_{Fe} نشان داده شده است. با توجه به این نمودار، می‌توان حضور کانی‌های Zo/Czo را با توجه به مقادیر انرژی آزاد گیبس و ترکیب این کانی‌ها توضیح داد. در واقع اهمیت ترکیب شیمیابی در سنگ‌های دگرگون در این نمودار بیشتر آشکار می‌شود.

بحث

حضور زوج کانی‌های زوئیزیت و کلینوزوئیزیت در اپیدوت- آمفیبولیت‌های منطقه‌ی سلاماس می‌تواند به عنوان راهنمایی



شکل ۵ نمایی از نمودار انرژی آزاد گیبس- ترکیب برای وقهه ترکیبی موجود بین زوئیزیت- کلینزوئیزیت. بر گرفته از [۲۳].



شکل ۶ نمودار ترکیب زوج کانی‌های همزیست زوئیزیت و کلینزوئیزیت‌های منطقه‌ی سلماس نسبت به دما. محدوده دو فازی زوئیزیت و کلینزوئیزیت بر گرفته از [۲۳]. ($X_{Ps} = \text{Fe}^{3+}/\text{Al} + \text{Fe}^{3+}$)

مهمنترین جانشینی مؤثر در ایجاد تغییرات ترکیبی مشاهده شده در کانی‌های زوئیزیت و کلینزوئیزیت Al-Fe است.

با توجه به حضور هم‌زمان کانی‌های زوئیزیت و کلینزوئیزیت در سنگ‌های دگرگون و با در نظر گرفتن ترکیب شیمیابی این کانی‌ها، می‌توان به شرایط دما و فشار تبلور آن‌ها بی‌برد. بر مبنای بررسی‌های دما-فشارسنجی که بر اساس مبادلات فازی و واکنش تبدیل زوئیزیت به کلینزوئیزیت و مقدار عضو انتهایی پیستاسیت در زوج کانی‌ها انجام گرفته است، این کانی‌ها در دمای 500 ± 20 درجه‌ی سانتیگراد و فشار

برداشت
کانی‌های گروه اپیدوت (اپیدوت، زوئیزیت و کلینزوئیزیت) از جمله کانی‌های شاخص در اپیدوت‌امفیبولیت‌های منطقه‌ی سلماس بوده و جزیی از مجموعه کانی‌های اوج دگرگونی در این سنگ‌ها بشمار می‌رond. ترکیب شیمیابی کانی‌های زوئیزیت و کلینزوئیزیت با یکدیگر متفاوت بوده و مقدار X_{Ps} در این کانی‌ها با توجه به ترکیب آن‌ها متفاوت است. X_{Ps} در کانی زوئیزیت (۱۰,۶۵٪-۶,۴۶٪) در مقایسه با این مقدار در کانی کلینزوئیزیت (۱۸,۷۳٪-۱۶,۷۲٪) کمتر است. نتیجه اینکه

- [8] Holland T.J.B., "Stability relations of *clino-* and *orthozoisite*". In: Henderson CMB (ed) *Progress in experimental petrology*. The Natural Environment Research Council. Publication Series D. 25 (1984) 185–186.
- [9] Fehr K.T., Heuss-Aßbichler S., "Intracrystalline equilibria and immiscibility along the join *clinozoisite–epidote*: an experimental and ^{57}Fe Mossbauer study", N Jahrb Mineral Abh, 172 (1997) 43–67.
- [10] Heuss-Aßbichler S., Fehr K.T., "Intercrystalline exchange of Al and Fe^{3+} between grossular–andradite and clinozoisite–epidote solid solutions", N Jahrb Mineral Abh 172 (1997) 69–100
- [11] Strens R.G.J., "Stability relations of the Al–Fe epidotes", Mineral. Mag. 35 (1965) 464–475.
- [12] Holdaway M.J., "Basic regional metamorphic rocks in part of the Klamath Mountains, Northern California", American Mineralogist 50 (1965) 953–977.
- [13] Hietnan A., "Amphibole pairs, epidote minerals, chlorite, and plagioclase in metamorphic rocks, northern Sierra Nevada, California", American Mineralogist, 59 (1974) 22–40.
- [14] Raith M., "The Al–Fe (lll) epidote miscibility gap in a metamorphic profile through the Penninic series of the Tauern Window, Austria", Contributions to Mineralogy and Petrology, 57 (1976) 99–117.
- [15] Brunsmann A., Franz G., Heinrich W., "Experimental investigation of zoisite–clinozoisite phase equilibria in the system $\text{CaO–Fe}_2\text{O}_3–\text{Al}_2\text{O}_3–\text{SiO}_2–\text{H}_2\text{O}$ ", Contributions to Mineralogy and Petrology, 143 (2002) 115–130.
- [16] Selverstone J., Spear F.S., "Metamorphic P–T paths from pelitic schists and greenstones from the south-west Tauern Window, Eastern Alps", Journal of metamorphic Geology 3 (1985) 439–465
- [۱۷] سازمان زمین‌شناسی و اکتشافات معدنی کشور، نقشه زمین‌شناسی ۱:۱۰۰۰۰۰ سلماس.
- [۱۸] سازمان زمین‌شناسی و اکتشافات معدنی کشور، نقشه زمین‌شناسی ۱:۲۵۰۰۰ خوی.
- [19] Kapp P., Manning C.E., and Tropper P., "Phase-equilibrium constraints on titanite and rutile activities in mafic epidote amphibolites and geobarometry using titanite–rutile equilibria",

۶/۵-۷ کیلوبار تشکیل شده‌اند. شرایط دما–فشاری به دست آمده برای این نمونه‌ها، در گستره‌ی اپیدوت آمفیبولیت در نمودارهای تعیین رخساره‌های دگرگونی قرار می‌گیرد. این بررسی‌ها، اهمیت توجه به حضور و ترکیب شیمیایی این دو کانی در سنگ‌های دگرگون و کاربرد آن به عنوان فشارسنج و دماسنج بالقوه در بررسی سنگ‌های دگرگونی را نشان می‌دهد.

قدرتانی

بدینوسیله از دکتر Rhede Appelt و خانم تجزیه‌های میکروپروب یاری دادند، تشکر می‌نماییم. همچنین از داوران محترم مجله که با پیشنهادات ارزنده خود موجب بهتر شدن مقاله شدند و از دکتر ناصر تجیر سردبیر مجله تشکر می‌کنیم.

مراجع

- [1] Deer W.A., Howie R.A., Zussman, J., "Epidote group. In: Deer, W.A., Howie, R.A. and Zussman, J. *Disilicates and ring silicates*", Longman, Harlow, (1986) 2-179.
- [2] Poli S., Schmidt M.W., "The high-pressure stability of zoisite and phase relationships of zoisite-bearing assemblages", Contributions to Mineralogy and Petrology, 130 (1998) 162–175.
- [3] Chatterjee N.D., Johannes W., Leistner H., "The system $\text{CaO–Al}_2\text{O}_3–\text{SiO}_2–\text{H}_2\text{O}$: new phase equilibria data, some calculated phase relations, and their petrological applications", Contributions to Mineralogy and Petrology, 88 (1984) 1–13.
- [4] Franz G., Selverstone J., "An empirical phase diagram for the clinozoisite–zoisite transformation in the system $\text{Ca}_2\text{Al}_3\text{Si}_3\text{O}_{12}(\text{OH})–\text{Ca}_2\text{Al}_2\text{Fe}^{3+}\text{Si}_3\text{O}_{12}(\text{OH})$ ", American Mineralogist, 77 (1992) 631–642.
- [5] Jenkins D. M., Newton R. C., Goldsmith J. R., "Fe-free clinozoisite stability relative to zoisite", Nature, 304 (1983) 622–623.
- [6] Holdaway M.J., "Thermal stability of Al -Fe epidote as a function of f_{O_2} and Fe content", Contributions to Mineralogy and Petrology, 37 (1972) 307–340.
- [7] Jenkins D. M., Newton R. C., Goldsmith J.R., "Relative Stability of Fe-Free Zoisite and Clinozoisite", Journal of Geology, 93 (1985) 663–672.

- Austria) as evidence for high-pressure fluid–rock interaction”.*, Journal of metamorphic Geology, 18 (2000) 1–21.
- [28] Ackermann D., Raase P., “*Coexisting zoisite and clinozoisite in biotite schists from the Hohe Tauern, Austria*”, Contributions to Mineralogy and Petrology, 42 (1973) 333–341.
- [29] Enami M., Banno S., “*Zoisite-clinozoisite relations in low- to medium-grade high-pressure metamorphic rocks and their implications*”, Mineralogical Magazine, 43 (1980) 1005–1013.
- [30] Prunier A.R., Hewitt D.A., “*Experimental observations on coexisting zoisite-clinozoisite*”, American Mineralogist, 70 (1985) 375–378.
- [31] Dollase W.A., “*Refinement of the crystal structures of epidote, allanite and hancockite*”, American Mineralogist, 56 (1971) 447–464.
- [32] Berman R.G., Brown T.H., “*Heat capacity of minerals in the system Na₂O–K₂O–CaO–MgO–FeO–Fe₂O₃–Al₂O₃–SiO₂–TiO₂–H₂O–CO₂: representation, estimation, and high temperature extrapolation*”, Contribution to Mineralogy and Petrology, 89 (1985) 168–183.
- [33] Hemingway B.S., Haas J.L., Robinson G.R., “*Thermodynamical properties of selected minerals in the system Al₂O₃–CaO–SiO₂–H₂O at 298.15 K and 1 bar (105 Pascal) pressure and at higher temperatures*”, Geol Surv Bull 1544 (1982) 1–70.
- [34] Spear F. S., “*NaSi = CaAl exchange equilibrium between plagioclase and amphibole: An empirical model*”, Contrib. Mineral. Petrol., 72 (1980), 33–41.
- Journal of metamorphic Geology, 27 (2009) 509–521.
- [20] El-Shazley A.K., Worthing M.A., and Liou J.G., “*Interlayered Eclogites, Blueschists and Epidote Amphibolites from NE Oman: a Record of Protolith Compositional Control and Limited Fluid Infiltration*”, Journal of Petrology, 38 (1997) 1461–1487.
- [21] Tsujimori T., Liou J.G., Ernst W.G., Itaya T., “*Triassic paragonite- and garnet-bearing epidote-amphibolite from the Hida Mountains, Japan*”, Gondwana Research, 9 (2006) 167–175.
- [22] Castelli D., Rolfo F., Compagnoni R. and Xu S., “*Metamorphic veins with kyanite, zoisite and quartz in the Zhu-Jia-Chong eclogite, Dabie Shan, China*”, The Island Arc, 7 (1998) 159–173.
- [23] Zack T., Foley S.F., Rivers T., “*Equilibrium and disequilibrium trace element partitioning in hydrous eclogites (Trescolen, Central Alps)*”, Journal of Petrology, 43 (2002) 1947–1974.
- [24] Hacker B.R., A. G.A., Peacock S.M., “*Subduction factory I. Theoretical mineralogy, densities, seismic wave speeds, and H₂O contents*”, Journal of Geophysical Research, 108 (2003) 1–26.
- [25] Davis P.B., Whitney D.L., “*Petrogenesis of lawsonite and epidote eclogite and blueschist, Sivrihisar Massif, Turkey*”, Journal of metamorphic Geology, 24 (2006) 823–849.
- [26] Rodgers A. F., “*Clinozoisite from Lower California*”, American Mineralogist, 9 (1924) 221–224.
- [27] Brunsmann A., Franz G., Erzinger J. and Landwehr D., “*Zoisite- and clinozoisite-segregations in metabasites (Tauern Window,*